

(137)

パウダーの溶融とプールの形成

(連鉄鉄片表面割れ症の研究)

—連続鋳造におけるパウダー技術に関する研究(第3報)—

新日本製鐵㈱ 製品技術研究所 ○中野武人 藤 雅雄 永野恭一

大分製鐵所 溝口庄三 山本利樹 三隅秀幸

溝口庄三 山本利樹 三隅秀幸

設備技術本部

浅野敬輔

谈到吸物

1. 緒言： 前報までに、鋳片の縦割れを防止するために、一定厚以上の溶融パウダープールを確保することの重要性について言及した。本報では、パウダーの溶融とプールの形成について検討した。

2. パウダーの溶融過程の観察： 加熱したパウダー層の各部を鉱物学的に観察した。パウダーは、Fig. 1 に示すような段階を経て溶融し、プールを形成すると推測される。

3. パウダー溶融過程の数値シミュレーション：上述した溶融過程の観察を前提とし、溶融過程を数値モデル化した。主な仮定を以下に示す。
 ①パウダーの溶融は、伝熱と焼結反応で律速される。
 ②パウダー層内の伝熱は一次元伝導伝熱とする。
 ③パウダー層上面からの放熱は輻射、および伝導伝熱とする。
 ④焼結反応は、焼結開始温度 θ_{is} で始まり、その速度は Jander の式¹⁾にしたがうとする。
 伝熱の基本式は、次式で示される。

初期条件、および境界条件を次のように与え、(1)式を差分化し、数値計算を行い、パウダー層表面からの放熱量を求めた。

$$t=0, \quad 0 \leq x \leq \ell \text{ で } \theta = \theta_{in}; \quad t > 0, \quad x=0 \text{ で } \theta = \theta_m, \quad x=\ell \text{ で }$$

$$\kappa \partial \theta / \partial x = \varepsilon \cdot 0 \{ (\theta_s + 273)^4 - (\theta_a + 273)^4 \} + h (\theta_s - \theta_a) \quad \dots (2)$$

ここで、 t :時間； x :パウダー層内位置； θ :パウダー層の温度； θ_{in} :初期温度； θ_m , θ_s , θ_a :溶鋼, パウダー層表面, および雰囲気温度； κ , ρ , C_p :パウダー層の熱伝導度, 密度, および比熱； ℓ :パウダー層の厚さ； ϵ :放射率； σ :ステファンボルツマン定数； h :パウダー層上面の境膜伝熱係数。

(2)式で示されるパウダー層表面からの放熱量の経時変化をFig. 2に示す。放熱は、一定時間（臨界放熱時間 T_{hc} と称する）を経た後に開始するという特徴ある傾向を示す。この T_{hc} は実際のパウダーにおいても存在することが確認された。

4. T_{HC} による溶融パウダープール形成性能の評価：溶融特性を変化させたパウダーを用いて鋳造を行なった。この際実測されたプール厚と、 T_{HC} の関係をFig. 3に示す。 T_{HC} とプール厚およびそのバラツキはよい相関を示す。これより、 T_{HC} を測定することによりパウダーの溶融パウダープール形成性能を、評価し得る。

1) W. Jander : Z. Anorg. Chem. 163 (1927), P1

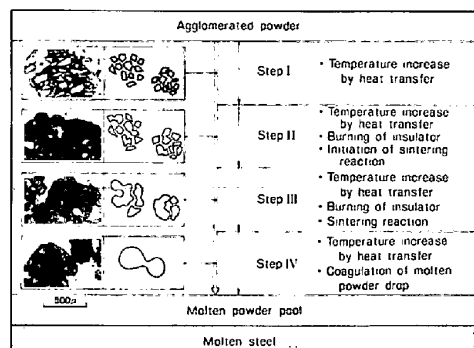


Fig.1 Schematic model of melting process of agglomerated mold powder

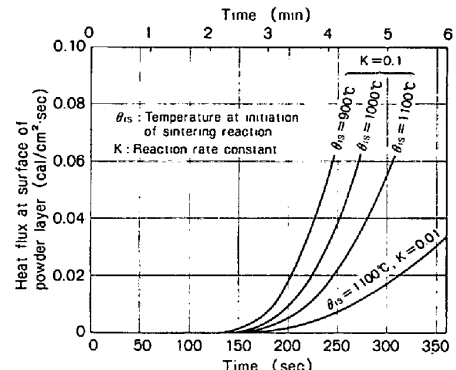


Fig. 2 Calculated change in heat flux at surface of powder layer

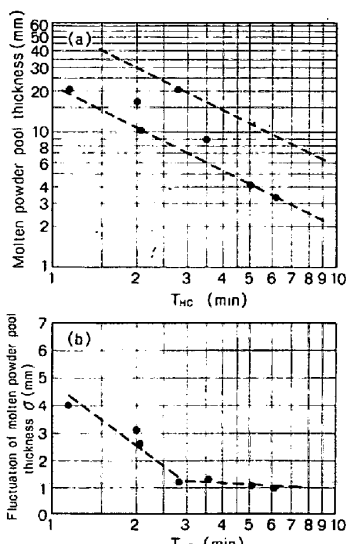


Fig.3 Effect of T_{HC} on molten powder pool formation (Casting speed 1.2m/min)